

ствия, превышающей некоторое пороговое значение. Этот эффект можно связать с формированием в сплаве микроскопических областей с механической неустойчивостью решетки, обусловленной возникновением мягких фоновых мод [8,9] в условиях, предшествующих фазовому переходу фазы  $B2$  в фазу  $R$ .

Авторы выражают признательность В.А.Тараканову за разработку конструкции и электронной схемы ячейки.

### Список литературы

- [1] Ruby S.L., Bolef D.I. // Phys. Rev. Lett. 1960. V. 5. N 1. P. 5-7.
- [2] Айвазян Т.М., Айвазян Ю.М., Мкртчян А.Р. // ФТТ. 1974. Т. 16. № 5. С. 1383-1385.
- [3] Мкртчян А.Р., Кочерян Л.А. / Тр. Междунар. конф. по мессбауэровской спектроскопии. Бухарест, 1977. С. 345-346.
- [4] Аракелян А.Р., Арутюнян Г.А. // Акуст. журн. 1978. Т. 24. № 3. С. 809-812.
- [5] Кубашевски О. Диаграммы состояния двойных систем на основе железа. М., 1985. 184 с.
- [6] Анохин С.В., Гришков В.Н., Лотков А.И. // Металлофизика. 1989. Т. 11. № 5. С. 44-49.
- [7] Физический энциклопедический словарь. М., 1963. Т. 3. С. 178-179.
- [8] Bruinsma R. // Phys. Rev. B. 1982. V. 25. N 4. P. 2951-2954.
- [9] Moine P., Allain J., Renker B. // J. Phys. F. 1984. V. 14. P. 2517-2529.

Сибирский физико-технический институт  
им. В.Д.Кузнецова  
Томск

Поступило в Редакцию  
16 марта 1993 г.

---

© Физика твердого тела, том 35, № 8, 1993  
*Solid State Physics, vol. 35, N 8, 1993*

## ТЕМПЕРАТУРНЫЕ АНОМАЛИИ ПЬЕЗООПТИЧЕСКИХ КОЭФФИЦИЕНТОВ В КРИСТАЛЛАХ ГЕРМАНАТА СВИНЦА

Б.Г.Мыцык, В.А.Ромашко, Я.И.Шона

Актуальность исследований фотоупругости кристаллов обусловливается их практической направленностью, а именно использованием фотоупругих модулирующих устройств в современной оптической аппаратуре, решением задач по осуществлению оптических линий связи, практическим использованием фотоупругой динамометрии, интенсивно развиваемой в последнее время, включая датчики давления жидкостей и газов, уровнемеры и глубинометры, дифференциальные манометры и др.

В настоящей работе изучен пьезооптический эффект в кристаллах германата свинца  $Pb_5Ge_3O_{11}$  в широком температурном интервале, включающем в себя температуру фазового перехода ( $\Phi\Pi$ ).

Известно [1,2], что температурные аномалии пьезооптических коэффициентов (ПОК)  $\pi_{km}^0 = -2\delta\Delta_k/(d_k\sigma_m)$  ( $d_k$  — толщина образца в направлении распространения света,  $\sigma_m$  — механическое напряжение), описывающих индуцированное изменение разности хода  $\delta\Delta_k$  в сегнетоэлектрических кристаллах при  $\Phi\Pi$ , обусловливаются как вторичным электрооптическим эффектом из-за аномальной зависимости спонтанной поляризации и соответственно спонтанного двулучепреломления от  $\sigma_m$ , так и аномалиями коэффициентов упругой податливости  $S_{km}$ . Упругий вклад в ко-

эффициенты  $\pi_{km}^0$  дается соотношением [2]

$$\pi_{km}^0 = \pi_{km}^* - 2\Delta n_k S_{km}, \quad (1)$$

где  $\pi_{km}^* = -2\delta\Delta n_k/\sigma_m$  — ПОК по двулучепреломлению,  $\delta\Delta n_k$  — пьезоизменение двулучепреломления  $\Delta n_k$ .

Иногда упругий вклад  $2\Delta n_k S_{km}$  из-за малых  $\Delta n_k$  и  $S_{km}$  значительно меньше  $\pi_{km}^0$ , поэтому в пределах погрешности пьезооптического эксперимента ( $\sim 10\%$ ) справедливым является равенство  $\pi_{km}^0 = \pi_{km}^*$ . В таких случаях вкладом аномалий  $S_{km}$  в аномалии коэффициентов  $\pi_{km}^0$  тоже можно пренебречь. Тогда аномалия  $\pi_{km}^0$  в области ФП формируется только за счет вклада вторичного электрооптического эффекта, который проявляется в чистом виде. Это характерно, в частности, для кристаллов барий-стронциевого ниобата [3], где вклад упругости в  $\pi_{km}^0$  составляет  $\leq 3\%$  от величины  $\pi_{km}^0$ , а также для изученного в настоящей работе кристалла германата свинца  $Pb_5Ge_3O_{11}$ . Для последнего упругий вклад составляет  $4.5\%$  от  $\pi_{12}^0$  и  $1.2\%$  от  $\pi_{13}^0$ . Рассчитано при использовании известных значений двулучепреломления  $\Delta n_1 = \Delta n_2 = 0.035$  [4], коэффициентов упругой податливости  $S_{12} = -6.4 \cdot 10^{-12} \text{ м}^2/\text{Н}$ ,  $S_{13} = -2.2 \cdot 10^{-12} \text{ м}^2/\text{Н}$  [5] и измеренных в настоящей работе коэффициентов  $\pi_{km}^0$ :  $\pi_{12}^0 = 9.4$ ,  $\pi_{13}^0 = 14.1$ ,  $\pi_{31}^0 = 5.0$  Бр; 1 Бр(Брюстер) =  $10^{-12} \text{ м}^2/\text{Н}$ . Для коэффициента  $\pi_{31}^0$  упругий вклад равен нулю, так как  $\Delta n_3 = 0$ .

Перечисленные ПОК  $\pi_{12}^0 = \pi_{21}^0$ ,  $\pi_{13}^0 = \pi_{23}^0$  и  $\pi_{31}^0 = \pi_{32}^0$  представляют собой полный набор независимых главных коэффициентов  $\pi_{km}^0$  поперечного ПОЭ для кристаллов  $Pb_5Ge_3O_{11}$ , принадлежащих к классу симметрии 3 (для главных ПОК индексы  $k$ ,  $m$ , обозначающие направления распространения света и действия давления, принимают значения 1, 2, 3).

На рис. 1 приведены температурные зависимости коэффициентов  $\pi_{12}^0$  и  $\pi_{13}^0$ , определенные методом полуволновых напряжений [6]. Видим, что величины аномалий ПОК в области ФП небольшие и составляют  $\sim 7 \div 10\%$  от величин ПОК в параэлектрической фазе. Проведен также расчет аномальных частей зависимостей  $\pi_{km}^0(T)$  на основе известного соотношения [7]

$$\delta\pi_{km}^0 = -\frac{2}{d_k} \frac{dT_c}{d\sigma_m} \frac{d\Delta_k^{cp}}{dT}, \quad (2)$$

где  $\Delta_k^{cp}$  — спонтанная разность хода;  $d\Delta_k^{cp}/dT$  — температурная производная спонтанной разности хода, определяемая как отношение отрезков  $\Delta_k^{cp}$  и температурного интервала  $\Delta T$ , отсекаемых касательной к зависимости  $\Delta_k^{cp}(T)$  в конкретной температурной точке.

Для кристаллов  $Pb_5Ge_3O_{11}$  зависимость спонтанной разности хода, отнесенной к единице длины образца в направлении распространения света  $d_1^{-1}\Delta_1^{cp}(T) = d_2^{-1}\Delta_2^{cp}(T)$  (вставка на рис. 2), определена из температурных изменений разности хода  $\delta\Delta_1(T)$  (рис. 2) как разность между измеренными значениями  $\delta\Delta_1$  в сегнетоэлектрической фазе и их значениями, экстраполированными из параэлектрической фазы. Зависимости  $\delta\Delta_1(T) = \delta\Delta_2(T)$  при  $\sigma_m=0$  и  $\sigma_m \neq 0$  определены методом регистрации экстремумов поляризационно-оптической зависимости интенсивности света

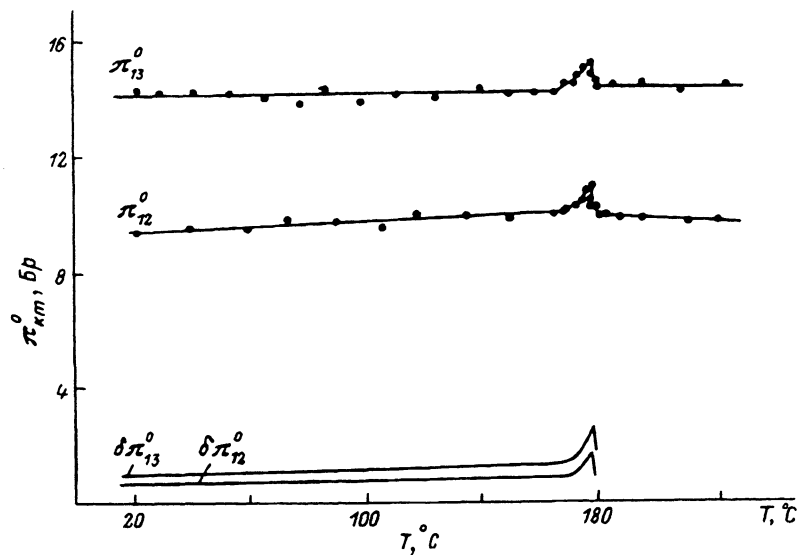


Рис. 1. Экспериментальные зависимости коэффициентов  $\pi_{km}^0$  от температуры и рассчитанные их аномальные части  $\delta\pi_{km}^0$ .

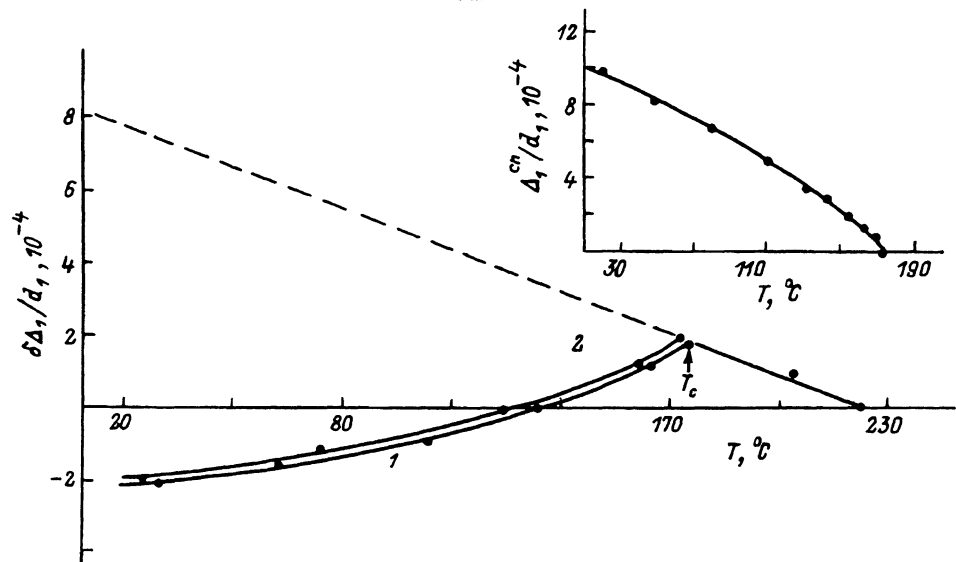


Рис. 2. Примеры зависимостей  $d_k^{-1}\delta\Delta_k(T)$  при  $\sigma_m = 0$  и  $\sigma_m \neq 0$ .

$\sigma_3 = 0$  (1),  $100 \text{ кг}/\text{см}^2$  (2). На вставке — температурная зависимость спонтанной разности хода, отнесенной к единице длины образца.

от температуры [8]. На зависимостях  $\delta\Delta_k(T)$  при  $\sigma_m = 0$  и  $\sigma_m \neq 0$  хорошо проявляется температура фазового перехода  $T_c$ , при которой происходит инверсия знака температурного изменения разности хода. Это позволило на основе измеренного смещения температуры ФП при действии  $\sigma_m$  определить коэффициенты щезосмещения  $T_c$  при действии напряжений сжатия

$$dT_c/d\sigma_1 = dT_c/d\sigma_2 = -15.0,$$

$$dT_c/d\sigma_3 = +18.5 \text{ (в град/кбар} = 10^{-2} \text{ град/МПа).}$$

На основе соотношения (2), используя приведенные значения коэффициентов  $dT_c/d\sigma_m$  и определенные из температурных зависимостей спонтанных разностей хода величины  $d_1^{-1}d\Delta_1^{\text{сп}}/dT \equiv d_2^{-1}d\Delta_2^{\text{сп}}/dT$ , мы рассчитали аномальные вклады в ПОК  $\delta\pi_{12}^0(T)$  и  $\delta\pi_{13}^0(T)$  (рис. 1). Перемещение зависимостей  $\delta\pi_{12}^0(T)$  и  $\delta\pi_{13}^0(T)$  вдоль оси ординат приводит к смещению (в пределах погрешности эксперимента) с зависимостями  $\pi_{12}^0(T)$  и  $\pi_{13}^0(T)$ , полученными экспериментально. Это подтверждает справедливость соотношения (2) и соответственно предложенного в [7] подхода к описанию аномалий ПОК, основанного на пьезоизменении спонтанных разностей хода и двулучепреломления за счет смещения температуры ФП, индуцированного механическим напряжением.

Что касается температурного поведения коэффициента  $\pi_{31}^0 = \pi_{32}^0$ , описывающего пьезооптический эффект при распространении света вдоль оптической оси  $X_3$ , то легко обосновать отсутствие температурных аномалий в области ФП. А именно симметрия кристаллов  $\text{Pb}_5\text{Ge}_3\text{O}_{11}$  при переходе из параэлектрической в сегнетоэлектрическую фазу изменяется из класса 6 в класс 3, т.е. кристалл остается оптически одноосным. Поэтому  $\Delta n_3 = \Delta n_3^{\text{сп}} = \delta\Delta_3^{\text{сп}} = 0$  и в соответствии с (2)  $\delta\pi_{31}^0 = \delta\pi_{32}^0 = 0$ .

Отметим, что соотношение (2) получено в [7] в предположении неизменности формы  $\Delta_k^{\text{сп}}(T)$  при действии  $\sigma_m$ . Для кристаллов  $\text{Pb}_5\text{Ge}_3\text{O}_{11}$  это предположение подтверждено в настоящей работе при действии механических напряжений  $\sigma_1$ ,  $\sigma_2$  и  $\sigma_3$  ( $\sim 100$  кг/см $^2$ ) и продемонстрировано на рис. 2 для  $\sigma_m$ , действующего вдоль оптической оси.

Таким образом, в работе определена слабая зависимость ПОК кристаллов германата свинца от температуры, включая область ФП. Поэтому исследованный материал, учитывая его хорошие прочностно-механические свойства и оптическое качество, а также технологичность выращивания монокристаллов больших размеров, может быть рекомендован для использования в устройствах, работающих по принципу фотопрупого изменения двулучепреломления и разности хода в широком диапазоне температур.

#### Список литературы

- [1] Романюк Н.А., Мыцык Б.Г., Варикаш В.М. // ФТТ. 1983. Т. 25. № 6. С. 1670–1674.
- [2] Мыцык Б.Г., Карнаух Б.М., Остапюк В.В., Скаб И.П. Оптика анизотропных сред. М., 1987. С. 149–151.
- [3] Мыцык Б.Г., Ромашко В.А., Сеглиньш Я.А. // ФТТ. 1991. Т. 33. № 10. С. 2857–2860.
- [4] Iwasaki H., Miyasawa J., Koisumi H. et al. // J. Appl. Phys. 1972. V. 43. N 12. P. 4907–4914.
- [5] Блистанов А.А., Бондаренко В.С., Переломова Н.В. и др. Акустические кристаллы / Под ред. М.П. Шаскольской. М., 1982. 632 с.
- [6] Сонин А.С., Василевская А.С. Электрооптические кристаллы. М., 1971. 328 с.
- [7] Мыцык Б.Г. Оптика анизотропных сред. М., 1988. С. 99–102.
- [8] Мыцык Б.Г., Романюк Н.А. // Зав. лаб. 1982. Т. 48. № 6. С. 48–50.

Государственный  
научно-исследовательский институт  
прикладной акустики  
Львов

Поступило в Редакцию  
25 сентября 1992 г.  
В окончательной редакции  
26 марта 1993 г.